

Plates

Autor(en): **[s.n.]**

Objektyp: **Appendix**

Zeitschrift: **Eclogae Geologicae Helvetiae**

Band (Jahr): **78 (1985)**

Heft 2

PDF erstellt am: **21.07.2024**

Nutzungsbedingungen

Die ETH-Bibliothek ist Anbieterin der digitalisierten Zeitschriften. Sie besitzt keine Urheberrechte an den Inhalten der Zeitschriften. Die Rechte liegen in der Regel bei den Herausgebern.

Die auf der Plattform e-periodica veröffentlichten Dokumente stehen für nicht-kommerzielle Zwecke in Lehre und Forschung sowie für die private Nutzung frei zur Verfügung. Einzelne Dateien oder Ausdrucke aus diesem Angebot können zusammen mit diesen Nutzungsbedingungen und den korrekten Herkunftsbezeichnungen weitergegeben werden.

Das Veröffentlichen von Bildern in Print- und Online-Publikationen ist nur mit vorheriger Genehmigung der Rechteinhaber erlaubt. Die systematische Speicherung von Teilen des elektronischen Angebots auf anderen Servern bedarf ebenfalls des schriftlichen Einverständnisses der Rechteinhaber.

Haftungsausschluss

Alle Angaben erfolgen ohne Gewähr für Vollständigkeit oder Richtigkeit. Es wird keine Haftung übernommen für Schäden durch die Verwendung von Informationen aus diesem Online-Angebot oder durch das Fehlen von Informationen. Dies gilt auch für Inhalte Dritter, die über dieses Angebot zugänglich sind.

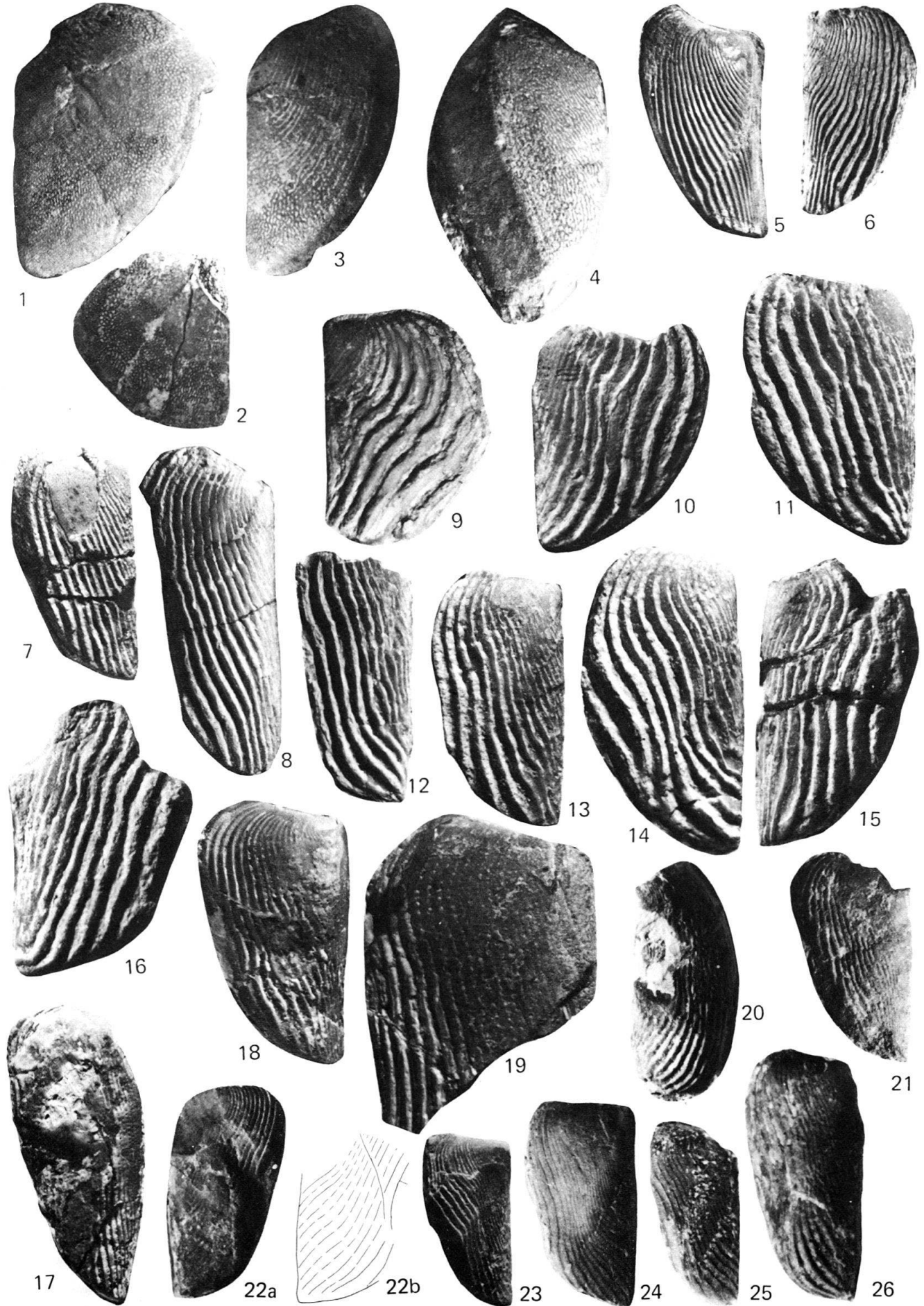


Plate 2

Valanginian continued

Fig. 1	<i>Lamellaptychus mortilleti</i> (P ICTET & LORIOL) 34.2 m (28 m), J30754, 3×.	p. 397	Fig. 17	<i>Lamellaptychus bahamensis</i> RENZ 47 m (39 m), J30797, 3×.	p. 403
Fig. 2	<i>Lamellaptychus mortilleti</i> (P ICTET & LORIOL) 34.2 m (28 m), J30895, 3×.	p. 397	Fig. 18	<i>Lamellaptychus bahamensis</i> RENZ 70 m (58 m), J30798, 3×.	p. 403
Fig. 3	<i>Lamellaptychus</i> aff. <i>mortilleti</i> (P ICTET & LORIOL) 45 m (37 m), J30756, 3×.	p. 397	Fig. 19	<i>Lamellaptychus bermudensis levis</i> , new variety 50 m (42 m), J30783, 3×, holotype	p. 401
Fig. 4a, b	<i>Lamellaptychus mortilleti</i> (P ICTET & LORIOL), juvenile 53 m (44 m), MB204, J30759, 2×.	p. 397	Fig. 20	<i>Lamellaptychus bermudensis levis</i> , new variety 46 m (38 m), MB203, J30782, 2×, paratype	p. 401
Fig. 5	<i>Lamellaptychus mortilleti</i> (P ICTET & LORIOL) 50 m (42 m), J30758, 2×.	p. 397	Fig. 21	<i>Lamellaptychus bermudensis</i> RENZ 72 m (60 m), J30903, 2×.	p. 400
Fig. 6	<i>Lamellaptychus lorioli</i> RENZ 30 m (25 m), J30761, 2×.	p. 398	Fig. 22	<i>Lamellaptychus bermudensis</i> RENZ 50 m (42 m), J30906, 2×.	p. 400
Fig. 7	<i>Lamellaptychus helveticus</i> new form, holotype 30 m (25 m), J30762, 2×.	p. 398	Fig. 23	<i>Lamellaptychus bermudensis</i> RENZ 50 m (42 m), J30905, 2×.	p. 400
Fig. 8	<i>Lamellaptychus helveticus</i> new form, paratype 1 30 m (25 m), J30763, 2×.	p. 398	Fig. 24	<i>Lamellaptychus bermudensis</i> RENZ 50 m (42 m), J30904, 2×.	p. 400
Fig. 9	<i>Lamellaptychus helveticus</i> new form, paratype 2 30 m (25 m), J30764, 2×.	p. 398	Fig. 25	<i>Lamellaptychus</i> aff. <i>retroflexus</i> TRAUTH 50 m (42 m), J30907, 2×.	p. 402
Fig. 10	<i>Lamellaptychus lombardicus longus</i> new name 31.5 m (26.5 m), J30766, 2×.	p. 399	Fig. 26	<i>Lamellaptychus</i> aff. <i>retroflexus</i> TRAUTH 62 m (52 m), J30788, 2×.	p. 402
Fig. 11	<i>Lamellaptychus lombardicus</i> new form 31.5 m (26.5 m), J30765, 2×.	p. 398	Fig. 27	<i>Lamellaptychus retroflexus</i> TRAUTH 62 m (52 m), J30789, 2×.	p. 402
Fig. 12	<i>Lamellaptychus trauti</i> new form, holotype 34 m (28 m), J30767, 3×.	p. 399	Fig. 28	<i>Lamellaptychus retroflexus</i> TRAUTH 65 m (54 m), J30791, 2×.	p. 402
Fig. 13	<i>Lamellaptychus trauti</i> new form, paratype 34 m (28 m), MB201, J30768, 2×.	p. 399	Fig. 29	<i>Lamellaptychus retroflexus</i> TRAUTH 71 m (59 m), J30793, 2×.	p. 402
Fig. 14	<i>Lamellaptychus</i> ? new form 46 m (38 m), MB203, J30781, 2×.	p. 401	Fig. 30	<i>Lamellaptychus retroflexus</i> TRAUTH 86 m (71 m), J30795, 3×.	p. 402
Fig. 15a, b	<i>Lamellaptychus planus</i> new form 45.5 m (37.5 m), J30780, 2×.	p. 400	Fig. 31	<i>Lamellaptychus retroflexus</i> TRAUTH 75 m (63 m), J30794, 3×.	p. 402
Fig. 16	<i>Lamellaptychus elegans</i> RENZ 47 m (39 m), J30784, 3×.	p. 402	Fig. 32	<i>Lamellaptychus retroflexus</i> TRAUTH 57 m (47 m), MB205, J30787, 2×.	p. 402
			Fig. 33	<i>Lamellaptychus challengerii</i> RENZ 50 m (42 m), J30801, 3×.	p. 403



Plate 3

	Valanginian continued				
Fig. 1	<i>Lamellaptychus challenger</i> RENZ 62 m (51 m), MB210, J30802, 2×.	Fig. 15a, b	<i>Lamellaptychus</i> aff. <i>symphysocostatus</i> TRAUTH 62 m (51 m), MB209, J30836, 2×, 15a slightly enlarged	p. 403	p. 408
Fig. 2	<i>Lamellaptychus challenger</i> RENZ 51 m (53 m), J30803, 3×.	Fig. 16	<i>Lamellaptychus herithae</i> (WINKLER) 54 m (45 m), J30822, 2×.	p. 403	p. 405
Fig. 3	<i>Lamellaptychus subdidayi</i> TRAUTH 59 m (49 m), MB206, J30833, 3×.	Fig. 17	<i>Lamellaptychus herithae</i> (WINKLER) 62 m (51 m), MB209, J30823, 2×.	p. 403	p. 405
Fig. 4	<i>Lamellaptychus</i> aff. <i>aplanatus</i> GILLIÉRON 54 m (45 m), J30808, 3×.	Fig. 18	<i>Lamellaptychus herithae</i> (WINKLER) 68 m (56 m), J30824, 1×.	p. 404	p. 405
Fig. 5	<i>Lamellaptychus aplanatus</i> GILLIÉRON 71 m (59 m), J30812, 3×.	Fig. 19	<i>Lamellaptychus</i> aff. <i>noricus</i> (WINKLER) 57 m (47 m), MB205, J30832, 2×.	p. 403	p. 407
Fig. 6	<i>Lamellaptychus aplanatus</i> GILLIÉRON 75 m (63 m), J30813, 2×.	Fig. 20a, b	<i>Lamellaptychus carinatus</i> new form 59 m (49 m), MB206, J30835, 2×.	p. 402	p. 408
Fig. 7	<i>Lamellaptychus</i> aff. <i>aplanatus</i> GILLIÉRON 75 m (63 m), J30814, 2×.	Fig. 21	<i>Lamellaptychus ambigua</i> RENZ 58 m (47 m), J30831, 2×.	p. 403	p. 406
Fig. 8	<i>Lamellaptychus aplanatus</i> GILLIÉRON 78 m (64 m), MB208, J30815, 2×.	Fig. 22	<i>Lamellaptychus ambigua</i> RENZ 50 m (42 m), J30830, 3×.	p. 403	p. 406
Fig. 9	<i>Lamellaptychus aplanatus</i> GILLIÉRON 47 m (39 m), J30816, 3×.	Fig. 23	<i>Lamellaptychus</i> aff. <i>angulodidayi</i> TRAUTH 70 m (58 m), J30837, 2×.	p. 403	p. 408
Fig. 10	<i>Lamellaptychus aplanatus</i> GILLIÉRON 87 m (72 m), J30818, 3×.	Fig. 24	<i>Lamellaptychus</i> ? aff. <i>L. bicurvatus</i> new form 71 m (59 m), J30842, 2×.	p. 403	p. 409
Fig. 11	<i>Lamellaptychus</i> aff. <i>aplanatus</i> GILLIÉRON 61.5 m (51 m), J30810, 3×.	Fig. 25	<i>Lamellaptychus bicurvatus</i> new name 71 m (59 m), J30838, 2×.	p. 403	p. 409
Fig. 12	<i>Lamellaptychus symphysocostatus</i> TRAUTH 51 m (53 m), J30827, 3×.	Fig. 26	<i>Lamellaptychus bicurvatus</i> new name 75 m (63 m), J30841, 2×.	p. 403	p. 409
Fig. 13	<i>Lamellaptychus symphysocostatus</i> TRAUTH 78 m (64 m), MB208, J30829, 3×.	Fig. 27	<i>Lamellaptychus bicurvatus</i> new name 71 m (59 m), J30839, 2×.	p. 406	p. 409
Fig. 14	<i>Lamellaptychus symphysocostatus</i> TRAUTH Betic Cordillera, Archidona, Provincia Malaga, Spain, J30888, 3×.	Fig. 28	<i>Lamellaptychus bicurvatus</i> new name 71 m (59 m), J30840, 2×.	p. 406	p. 409
		Fig. 29	<i>Lamellaptychus ticinensis</i> new name 75 m (63 m), J30843, 2×.	p. 409	p. 409
		Fig. 30	<i>Lamellaptychus ticinensis</i> new name 75 m (63 m), J30844, 3×.	p. 406	p. 409
		Fig. 31	<i>Lamellaptychus</i> ? aff. <i>ticinensis</i> new name 75 m (63 m), J30845, 3×.	p. 406	p. 409



Plate 4

Valanginian continued		Hauterivian, Maiolica Formation	
Fig. 1	<i>Lamellapytychus ticinensis</i> new name 75 m (63 m), J30846, 3x.	Fig. 13	<i>Lamellapytychus subseranonis</i> RENZ 86 m (71 m), MB61, J30857, 2x.
Fig. 2	<i>Lamellapytychus ticinensis</i> new name 75 m (63 m), J30847, 2x.	Fig. 14	<i>Lamellapytychus subseranonis</i> RENZ 86 m (71 m), J30858, 2x.
Fig. 3	<i>Lamellapytychus ticinensis</i> new name 79 m (65 m); J30848, 3x.	Fig. 15	<i>Lamellapytychus subseranonis</i> RENZ 86 m (71 m), J30859, 2x.
Fig. 4	<i>Lamellapytychus morbiensis</i> new form 75 m (63 m), J30849, 3x, holotype	Fig. 16	<i>Lamellapytychus subseranonis</i> RENZ 86 m (71 m), J30860, 3x.
Fig. 5	<i>Lamellapytychus didayi</i> TRAUTH 50 m (42 m), J30819, 3x.	Fig. 17	<i>Lamellapytychus seranonis</i> COQUAND 87 m (72 m), J30863, 3x.
Fig. 6	<i>Lamellapytychus didayi</i> TRAUTH 71 m (59 m), J30820, 2x.	Fig. 18	<i>Lamellapytychus subseranonis</i> RENZ 89 m (74 m), J30861, 2x.
Fig. 7	<i>Lamellapytychus angulodidayi</i> TRAUTH 75 m (63 m), J30851, 2x.	Fig. 19	<i>Lamellapytychus seranonis</i> COQUAND 97 m (81 m), J30864, 3x.
Fig. 8	<i>Lamellapytychus</i> form indet. 75 m (63 m), J30852, 2x.	Fig. 20	<i>Lamellapytychus seranonis fractocostus</i> TRAUTH 97 m (81 m), J30869, 3x.
Fig. 9	<i>Lamellapytychus mendristiensis</i> new form 75 m (63 m), J30853, 3x.	Fig. 21	<i>Lamellapytychus subseranonis</i> RENZ 86 m (71 m), J30866, 2x.
Fig. 10	<i>Lamellapytychus morbiensis</i> new form 75 m (63 m), J30850, 3x, paratype	Fig. 22	<i>Lamellapytychus tethis</i> new name 97 m (81 m), J30862, 2x.
Fig. 11	<i>Lamellapytychus subseranonis</i> RENZ 75 m (63 m), J30854, 3x.	Fig. 23	<i>Lamellapytychus seranonis</i> COQUAND 110 m (92 m), J30867, 2x.
Fig. 12	<i>Lamellapytychus subseranonis</i> RENZ 75 m (63 m), J30855, 3x.	Fig. 24	<i>Lamellapytychus seranonis fractocostus</i> TRAUTH 110 m (92 m), J30871, 2x.
		Fig. 25	<i>Lamellapytychus seranonis fractocostus</i> TRAUTH 107 m (89 m), J30870, 3x.



Plate 5

	Hauterivian continued				
Fig. 1	<i>Lamellaptychus seranonis fractocostus</i> TRAUTH 110 m (92 m), J30882, 3×.		Fig. 14	<i>Lamellaptychus atlanticus</i> (HENNIG) 144 m (119 m), DB2720, J30900, 3×.	p. 415
Fig. 2	<i>Lamellaptychus seranonis</i> (COQUAND) 110 m (92 m), J30889, 2×.	p. 412	Fig. 15	<i>Lamellaptychus angulocostatus</i> (PETERS) 144 m (119 m), DB2721, J30894, 2×.	p. 413
Fig. 3	<i>Lamellaptychus seranonis</i> (COQUAND) 110 m (92 m), J30890, 2×.	p. 412	Fig. 16	<i>Lamellaptychus atlanticus</i> (HENNIG) 133 m (110 m), MB87b, J30917, 1.5×.	p. 415
Fig. 4	<i>Lamellaptychus seranonis</i> (COQUAND) 110 m (92 m), J30891, 3×.	p. 412			
Fig. 5	<i>Lamellaptychus seranonis</i> (COQUAND) 110 m (92 m), J30892, 2×.	p. 412			
Fig. 6	<i>Lamellaptychus seranonis</i> (COQUAND) 110 m (92 m), J30893, 3×.	p. 412			
	Barremian, Maiolica Formation				
Fig. 7	<i>Lamellaptychus angulocostatus cristobalensis</i> O'CONNELL 109.5 m, DB2718a, J30886, 2×.	p. 414	Fig. 17	<i>Lamellaptychus elegans</i> RENZ 50 m (42 m), J30911, 2×.	p. 402
Fig. 8	<i>Lamellaptychus</i> aff. <i>angulocostatus</i> (PETERS) 126 m (105 m), MB81, J30883, 1.5×.	p. 415	Fig. 18	<i>Lamellaptychus elegans</i> RENZ 50 m (42 m), J30910, 2×.	p. 402
Fig. 9	<i>Lamellaptychus angulocostatus</i> (PETERS) 109.5 m DB2718b, J30872, 2×.	p. 413	Fig. 19	<i>Lamellaptychus</i> aff. <i>ambiguus</i> RENZ 50 m (42 m), J30918, 2.5×.	p. 406
Fig. 10	<i>Lamellaptychus angulocostatus</i> (PETERS) 133 m (110 m), MB87c, J30885, 1.5×.	p. 413	Fig. 20	<i>Lamellaptychus</i> aff. <i>ambiguus</i> RENZ 50 m (42 m), J30919, 2.5×.	p. 406
Fig. 11	<i>Lamellaptychus angulocostatus cristobalensis</i> (O'CONNELL) 133 m (110 m), MB87, J30876, 2×.	p. 414	Fig. 21	<i>Lamellaptychus bahamensis</i> RENZ 50 m (42 m), J30916, 2.5×.	p. 403
Fig. 12	<i>Lamellaptychus angulocostatus</i> (PETERS) 118.5 m DB2720, J30884, 3×.	p. 413	Fig. 22	<i>Lamellaptychus bahamensis</i> RENZ 50 m (42 m), J30915, 2×.	p. 403
Fig. 13	<i>Lamellaptychus angulocostatus cristobalensis</i> (O'CONNELL) 133 m (110 m), MB87b, J30887, 1.5×.	p. 414	Fig. 23	<i>Lamellaptychus bahamensis</i> RENZ 50 m (42 m), J30914, 2.5×.	p. 403
			Fig. 24	<i>Lamellaptychus bahamensis</i> RENZ 50 m (42 m), J30913, 2.5×.	p. 403
			Fig. 25	<i>Laevilamellaptychus</i> ? new form 57 m (47 m), MB205, J30912, 3×.	p. 407
			Fig. 26	<i>Neocomites</i> sp. indet. 75 m (63 m), J30920, 2×.	p. 388



